

# Análise por FDFD de Ressonadores de Microfita Compactos com *Stubs* nas Bordas do *Patch*

Karlo Q. da Costa e V. Dmitriev

**Resumo**—Neste trabalho, é apresentada uma análise teórica, utilizando o método das diferenças finitas no domínio da frequência (FDFD), de ressoadores de microfita compactos que utilizam *stubs* periódicos e retangulares nas bordas do *patch*. Resultados numéricos obtidos são apresentados e comparados com dados existentes na literatura.

**Palavras-Chave**—Ressonadores de microfita compactos, *stubs*, diferenças finitas no domínio da frequência (FDFD).

**Abstract**—In this work, is presented a theoretical analysis, using the finite difference frequency domain (FDFD) method, of compact microstrip resonators with periodic and rectangular *stubs*. Numerical results obtained are presented and compared with data existent in the literature.

**Index Terms**—Compact microstrip resonators, *stubs*, finite difference frequency domain (FDFD).

## I. INTRODUÇÃO

A redução nas dimensões do *patch* de ressoadores ou radiadores de microfita, tem sido a finalidade de vários estudos na área de dispositivos de microondas [1]-[10]. Estas pesquisas se devem à importância de se utilizar elementos compactos para aplicações em dispositivos portáteis para comunicação e em arranjos de antenas eficientes. Várias técnicas de miniaturização destes elementos já são conhecidas, como por exemplo: geometrias fractais [1], fendas estreitas no *patch* e no plano de terra [2], uso de maiores constantes dielétricas do substrato e a utilização de resistores-chip e capacitores-chip embebidos [3].

A utilização de *stubs* periódicos retangulares nas bordas do *patch* de ressoadores de microfita, já tem sido utilizada [4]-[10] como uma técnica para se obter redução nas dimensões ocupada por este, suas principais vantagens são: facilidade de utilização dos *stubs* em diferentes geometrias do ressoador (retangular, circular, etc), possibilidade de redução nas dimensões de até 50%, facilidade de casamento com a alimentação e, no caso de operação como radiador, a não alteração significativa nos diagramas de radiação, como visto em [4]. Estes tipos especiais de ressoadores já foram

analisados por três modelos diferentes, estes são: o de condições de contorno de impedância [5], o de linhas de transmissão com carregamento indutivo [8] e o de linhas de transmissão com carregamento capacitivo [10]. O primeiro limita-se a análise de ressoadores que possuem o número de *stubs* grande. O segundo é aplicado quando  $w_2 \ll \lambda$  (Figura 1) onde  $w_2$  é a distância entre dois *stubs* e  $\lambda$  é o comprimento de onda ao longo do ressoador. Já o terceiro modelo, somente é aplicado quando  $w_1 \ll \lambda$ , sendo que  $w_1$  é a largura de um *stub* (veja Figura 1).

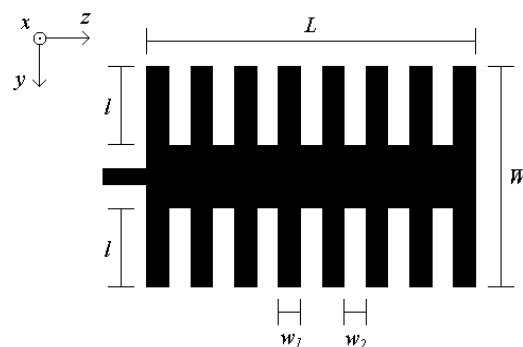


Fig. 1. Geometria do *patch* de um ressoador retangular com oito pares ( $N_S=8$ ) de *stubs* periódicos, retangulares e iguais nas bordas laterais.

O objetivo do presente trabalho, é mostrar algumas características importantes dos ressoadores de microfita retangulares com *stubs* periódicos nas bordas do *patch*, utilizando o método numérico das diferenças finitas no domínio da frequência [13] bidimensional (FDFD - *Finite Difference Frequency Domain*). A principal vantagem deste método, é que sua aplicação não se limita a alguns casos, como naqueles modelos comentados anteriormente, isto é, pode-se analisar ressoadores com quaisquer valores de  $N_S$  ( $N_S$  é o número de pares de *stubs* laterais),  $w_1$ ,  $w_2$ ,  $l$ ,  $L$  e  $W$ , onde essas últimas dimensões são mostradas na Figura 1. Por meio deste método, é apresentada a análise de ressoador mostrado na Figura 1. Os seguintes resultados numéricos, para o modo fundamental, foram obtidos: a frequência ressonante do modo fundamental, os campos eletromagnéticos dentro do ressoador e a distribuição de corrente sobre o *patch*. Foi calculada também a variação da frequência deste ressoador em função de  $l$  e  $N_S$ .

## II. ANÁLISE TEÓRICA

### A. Formulação do problema

A análise do ressoador mostrado na Figura 1, pode ser realizada resolvendo um problema de onda derivado das equações de Maxwell. Tal problema pode ser aproximado por um bidimensional quando o *patch* estiver bem próximo do plano de terra, em outras palavras, quando  $H \ll \lambda$  ( $H$  é a altura do substrato), pois nesta situação, nas frequências de interesse mais baixas, os campos não terão variação na direção vertical (eixo  $x$  da Figura 1), isto é, as derivadas em  $x$  serão nulas ( $\partial/\partial x = 0$ ). Esta condição, junto com  $H \ll w_1$ , torna o efeito de “françamento” do campo elétrico  $E_x$  nas bordas desprezível [11]. Desta forma, os contornos laterais do ressoador podem ser modelados por condições de contorno de paredes magnéticas. Feita estas considerações, o problema de autovalores do ressoador da Figura 1 resultante é dado por:

$$\left( \frac{\partial^2 E_x}{\partial y^2} + \frac{\partial^2 E_x}{\partial z^2} \right) = -k_0^2 \epsilon_R E_x, \quad (1)$$

$$\left. \frac{\partial E_x}{\partial \bar{n}} \right|_C = 0, \quad (2)$$

onde  $k_0 = 2\pi f \sqrt{\epsilon_0 \mu_0}$  é a constante de propagação do espaço livre,  $f$  a frequência de ressonância de um determinado modo,  $\mu_0$  a permeabilidade magnética do espaço livre,  $\epsilon_0$  a permissividade do espaço livre,  $\epsilon_R$  a constante dielétrica do substrato,  $C$  o contorno no plano  $yz$  do *patch* e  $\partial/\partial \bar{n}$  a derivada normal ao contorno  $C$ . Os modos resultantes da solução de (1) e (2) são  $TM^x$ , sendo que  $E_y = E_z = 0$ . Os campos magnéticos transversais são obtidos de  $E_x$  pelas seguintes relações:

$$k_0 Z_0 H_z = -j \frac{\partial E_x}{\partial y}, \quad (3)$$

$$k_0 Z_0 H_y = j \frac{\partial E_x}{\partial z}, \quad (4)$$

sendo que  $Z_0$  é a impedância do espaço livre. A densidade de corrente superficial sobre o *patch*  $K_s$  pode ser calculada de  $H_y$  e  $H_z$  utilizando as condições de contorno de Maxwell [14].

### B. Solução por FDFD

Solucionar o problema descrito pelas equações (1) e (2) na região bidimensional mostrada na Figura 1 por diferenças finitas, consiste em dividir a região de interesse em uma malha composta de células quadradas, isto para o caso de uma discretização uniforme em coordenadas retangulares, onde cada vértice de uma célula, o qual é representado por índices, é calculado o valor de  $E_x$ .

As equações (1) e (2) em coordenadas retangulares e na forma discreta são respectivamente [13]:

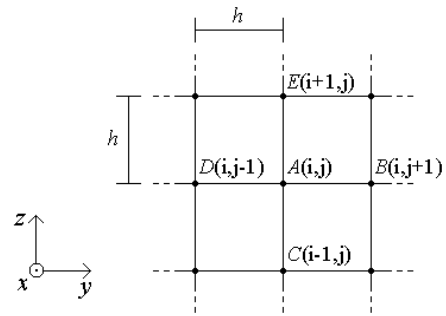


Fig. 2. Seção de uma região bidimensional uniformemente discretizada em coordenadas retangulares.

$$(4-h^2 k_0^2 \epsilon_R) E_x(i,j) = E_x(i+1,j) + E_x(i-1,j) + E_x(i,j+1) + E_x(i,j-1), \quad (5)$$

$$E_x(i,j_c) = E_x(i,j_c-1) \text{ ou } E_x(i_c,j) = E_x(i_c-1,j), \quad (6)$$

onde  $i_c$  e  $j_c$  são os índices referentes aos contornos da região. Dependendo do valor das dimensões do ressoador mostrado na Figura 1 e do valor de  $h$ , teremos  $N$  pontos internos à malha. Conseqüentemente, existirão  $N$  valores de  $E_x$  a serem calculados, sendo que para cada ponto da malha as equações (5) e (6) devem ser satisfeitas. Desta forma, obtém-se o seguinte problema de autovalores:

$$[A] \mathbf{e} = \alpha \mathbf{e}, \quad (7)$$

onde  $\mathbf{e} = [E_x^1 \ E_x^2 \ \dots \ E_x^N]^t$  é o vetor coluna que contém todos os valores de  $E_x(i,j)$  a serem determinados,  $\alpha = h^2 k_0^2 \epsilon_R$  são os autovalores. A matriz  $[A]$  de ordem  $N \times N$  é conhecida, onde seus elementos dependem da geometria da região do problema e das condições de contorno.

Resolvendo (7), obtém-se  $N$  autovalores  $\alpha_n$ , os quais estão relacionados com os modos da estrutura, e  $N$  autovetores  $\mathbf{e}_n$  que representam a distribuição do campo elétrico  $E_x$  do seu respectivo modo. Em nossa análise, estamos interessados no modo fundamental, isto é no autovalor  $\alpha_n$  mais baixo, assim basta obter uma única solução de (7). Desta forma, o problema (1) e (2) é resolvido. Para o cálculo dos campos magnéticos transversais (3) e (4), usou-se a aproximação de derivada centrada [15].

## III. RESULTADOS NUMÉRICOS

Para a aplicação do método numérico FDFD na solução do problema do ressoador mostrado na Figura 1, é necessário definir a região de análise. Devido o ressoador possuir simetria em dois planos perpendiculares entre si e paralelos ao eixo  $x$ , e que se interceptam bem no centro do *patch*, pode-se calcular os campos eletromagnéticos em apenas  $1/4$  da região total do *patch*, diminuindo assim a ordem da matriz  $[A]$ . Em conseqüência disto, o tempo de processamento total gasto pelo computador para a solução de (7) é reduzido. Assim, utilizando este conceito, a região de análise que foi escolhida é aquela mostrada na Figura 3.

Para o *plano 1* (Figura 3), utilizou-se condições de contorno de parede magnética, isto porque no modo fundamental o campo  $E_x$  possui simetria par em relação a este plano [4]. No *plano 2*, usou-se condição de contorno de parede elétrica, pois  $E_x$  possui simetria ímpar em relação a este plano. No contorno restante da região de análise, a condição de contorno permanece sendo aquela de paredes magnéticas dada por (6).

As dimensões do *patch* utilizadas foram:  $W=3,5\text{cm}$ ,  $L=7,5\text{cm}$ ,  $H=1,55\text{mm}$ ,  $l=1,25\text{cm}$ ,  $N_S=8$  e  $w_1=w_2=5\text{mm}$ . A malha mostrada na Figura 3 possui as seguintes características: discretização  $h=0,833\text{mm}$ , número de células ao longo do comprimento de um *stub*  $n_l=15$ , número de células ao longo de  $W/2$   $n_w=21$ , número de células ao longo de  $L/2$   $n_L=45$  e número de células ao longo de  $w_1=w_2$   $n_{w_l}=6$ . Para esta malha, a ordem da matriz [A] obtida foi  $N=520$ . A constante dielétrica utilizada foi  $\epsilon_R=4,4$ .

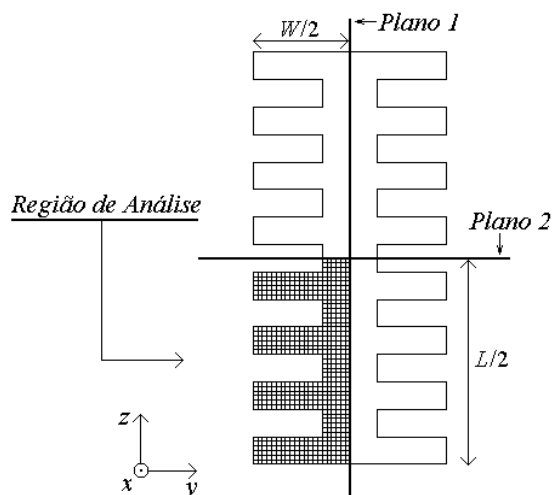


Fig. 3. Região de análise discretizada para o ressonador com  $N_S=8$ . Dados da malha:  $h=0,833\text{mm}$ ,  $n_l=15$ ,  $n_w=21$ ,  $n_L=45$  e  $n_{w_l}=6$ .

#### A. Frequência de ressonância

Resolvendo (7) para o ressonador descrito acima, obteve-se a seguinte frequência ressonante para o modo fundamental  $f_r=662,2\text{MHz}$ . Como não existe uma fórmula para o cálculo da constante efetiva deste ressonador, utilizou-se um valor médio das constantes obtidas dos ressoadores retangulares com larguras  $W$  e  $W-2 \times l$  e com  $H=1,55\text{mm}$ , o valor desta constante é  $\epsilon_{Ref}=3,9$ . Comparando esta frequência obtida com aquela do ressonador convencional retangular, o qual possui dimensões  $W=3,5\text{cm}$  e  $L=7,5\text{cm}$  e sendo  $f_{r0}=1,02\text{GHz}$  [8] a sua frequência ressonante, observa-se uma redução de 35% na frequência. Isto corresponde a uma redução de 35% em relação às dimensões do ressonador convencional, em particular a dimensão  $L$ , se for utilizado um ressonador com *stubs* operando na mesma frequência  $f_{r0}=1,02\text{GHz}$ .

Para efeito de comparação do método utilizado aqui com aqueles modelos analíticos disponíveis na literatura, a Tabela 1 abaixo mostra os resultados da frequência ressonante obtidos por diferentes modelos ( $f_{r0}$ -frequência de ressonância

para o ressonador convencional,  $f_r$ -para o ressonador com *stubs*). Os dados desta tabela foram obtidos para os ressoadores que possuem as mesmas dimensões daqueles utilizados na simulação anterior, sendo a única diferença no número de *stubs*, que no caso foram 28 em vez de 8 e  $w_1=w_2=1,31\text{mm}$ .

TABELA I  
COMPARAÇÃO DE RESULTADOS

Modelo	$f_{r0}$ (GHz)	$f_r$ (GHz)	$f_r/f_{r0}$
Linha de transmissão com carregamento indutivo [8]	1,01	0,675	0,668
Linha de transmissão com carregamento capacitivo [10]	0,98	0,653	0,666
Diferenças finitas no domínio da frequência - FDFD	1,03	0,650	0,631
Condições de contorno de impedância [4]	1,02	0,668	0,655
Dados experimentais [8]	1,02	0,660	0,647

A Tabela 2 abaixo mostra a variação da frequência ressonante  $f_r$ ,  $N$  e  $n_l$  em função do comprimento dos *stubs*  $l$ . Os dados mantidos constantes para o ressonador foram  $N_S=8$ ,  $W=3,5\text{cm}$ ,  $L=7,5\text{cm}$ ,  $H=1,55\text{mm}$ ,  $w_1=w_2=5\text{mm}$ ,  $h=0,833\text{mm}$  e  $\epsilon_{Ref}=3,9$ . Nesta tabela, a variação de  $f_r$  é significativa.

TABELA II  
VARIÇÃO DA FREQUÊNCIA EM FUNÇÃO DE  $l$

$l$ (cm)	0,250	0,583	0,916	1,08	1,41
$f_r$ (GHz)	0,992	0,920	0,817	0,748	0,544
$N$	808	712	616	568	472
$n_l$	3	7	11	13	17

A Tabela 3 abaixo mostra a variação da frequência ressonante  $f_r$ ,  $N$ ,  $n_l$ ,  $n_w$  e  $n_L$  em função dos parâmetros  $N_S$ ,  $h$ , e  $n_{w_l}$ , sendo que  $w_1=w_2$ . Os dados mantidos constantes para o ressonador foram  $l=1,25\text{cm}$ ,  $n_l=15$ ,  $W=3,5\text{cm}$ ,  $L=7,5\text{cm}$ ,  $H=1,55\text{mm}$  e  $\epsilon_{Ref}=3,9$ . Nesta tabela se observa que  $f_r$  não varia significativamente com  $N_S$ .

Todas as simulações feitas acima gastaram em média 1 min para a solução de (7), exceto aquela com  $N_S=28$ , a qual demorou 9 horas. O método foi implementado no Matlab 6.0.

TABELA III  
VARIÇÃO DA FREQUÊNCIA EM FUNÇÃO DE  $N_S$

$N_S$	4	6	8	10	12
$f_r$ (GHz)	0,6621	0,6627	0,6622	0,6645	0,6717
$h$ (mm)	0,765	0,568	0,833	0,987	0,545
$n_l$	16	22	15	13	23
$n_{w_l}$	14	12	6	4	6
$n_w$	23	31	21	18	32
$n_L$	49	66	45	38	69
$N$	704	1246	520	343	1234

#### B. Campos eletromagnéticos dentro do ressonador

As Figura 4, Figura 5 e Figura 6 mostram respectivamente, as distribuições dos campos  $E_x$ ,  $H_y$  e  $H_z$  dentro do ressonador.

Os dados utilizados nestas simulações são os mesmos daqueles da coluna 4 da Tabela 3. O campo  $E_x$  (Figura 4), é mostrado em todo o ressoador, já os campos magnéticos  $H_z$  e  $H_y$  (Figura 5 e Figura 6 respectivamente) são aqueles presentes apenas em  $1/4$  do ressoador (Figura 3).

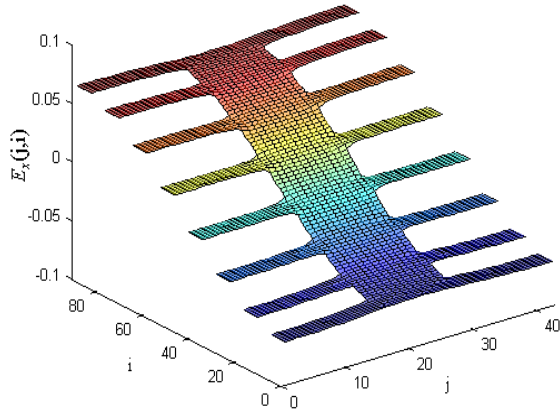


Fig. 4. Campo  $E_x$  versus  $i$  e  $j$ . Dados do ressoador:  $W=3,5\text{cm}$ ,  $L=7,5\text{cm}$ ,  $l=1,25\text{cm}$ ,  $w_1=w_2=5\text{mm}$ ,  $N_S=8$  e  $\epsilon_{Ref}=3,9$ . Dados da malha:  $h=0,833\text{mm}$ ,  $n_l=15$ ,  $n_W=21$ ,  $n_L=45$ ,  $n_{w_l}=6$  e  $N=520$ .

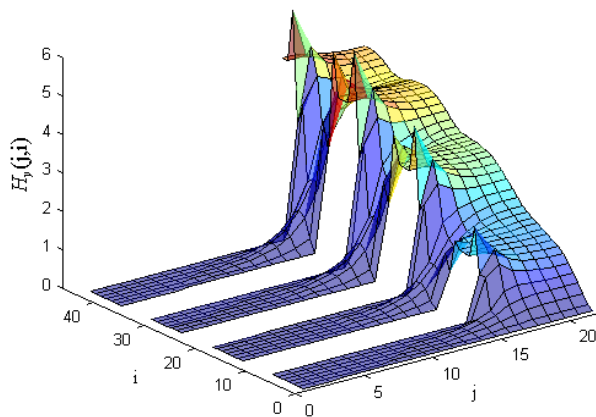


Fig. 5. Campo  $H_y$  versus  $i$  e  $j$ . Dados do ressoador:  $W=3,5\text{cm}$ ,  $L=7,5\text{cm}$ ,  $l=1,25\text{cm}$ ,  $w_1=w_2=5\text{mm}$ ,  $N_S=8$  e  $\epsilon_{Ref}=3,9$ . Dados da malha:  $h=0,833\text{mm}$ ,  $n_l=15$ ,  $n_W=21$ ,  $n_L=45$ ,  $n_{w_l}=6$  e  $N=520$ .

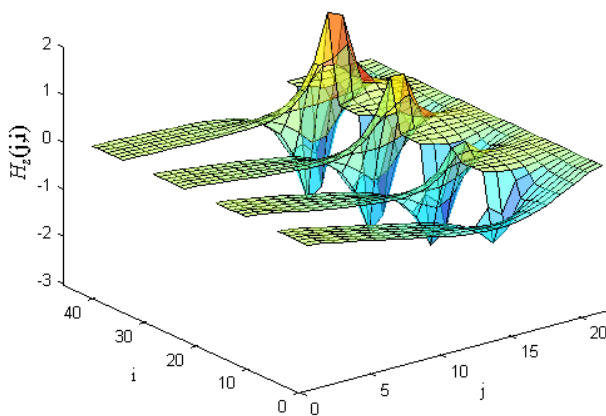


Fig. 6. Campo  $H_z$  versus  $i$  e  $j$ . Dados do ressoador:  $W=3,5\text{cm}$ ,  $L=7,5\text{cm}$ ,  $l=1,25\text{cm}$ ,  $w_1=w_2=5\text{mm}$ ,  $N_S=8$  e  $\epsilon_{Ref}=3,9$ . Dados da malha:  $h=0,833\text{mm}$ ,  $n_l=15$ ,  $n_W=21$ ,  $n_L=45$ ,  $n_{w_l}=6$  e  $N=520$ .

A Figura 7 abaixo, mostra a distribuição espacial do campo  $E_x$  dentro de um ressoador com  $N_S=28$ , os dados utilizados nesta simulação foram  $W=3,5\text{cm}$ ,  $L=7,5\text{cm}$ ,  $l=1,25\text{cm}$ ,  $N_S=28$ ,  $w_1=w_2=1,31\text{mm}$  e  $\epsilon_{Ref}=3,9$ . Os dados da malha são:  $N=2791$ ,  $h=0,34\text{mm}$ ,  $n_l=37$ ,  $n_W=51$ ,  $n_L=110$  e  $n_{w_l}=4$ .

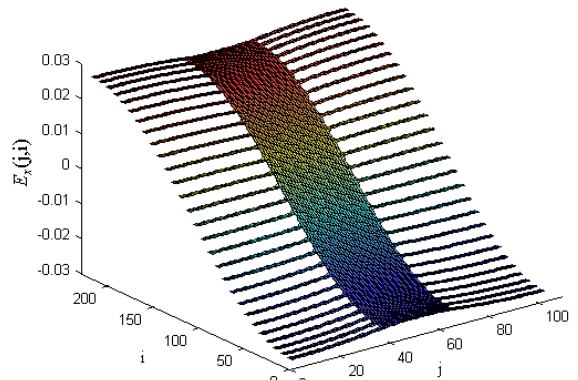


Fig. 7. Campo  $H_y$  versus  $i$  e  $j$ . Dados do ressoador:  $W=3,5\text{cm}$ ,  $L=7,5\text{cm}$ ,  $l=1,25\text{cm}$ ,  $w_1=w_2=1,31\text{mm}$ ,  $N_S=28$  e  $\epsilon_{Ref}=3,9$ . Dados da malha:  $h=0,34\text{mm}$ ,  $n_l=37$ ,  $n_W=51$ ,  $n_L=110$ ,  $n_{w_l}=4$  e  $N=2791$ .

Observa-se das figuras acima que as variações dos campos  $E_x$  e  $H_y$  na região fora dos *stubs*, isto é, interna ao ressoador, são parecidas com aquelas do ressoador convencional operando no modo fundamental. Estas semelhanças se tornam ainda maior quando se aumenta  $N_S$ , como observado na Figura. 7, onde o campo  $E_x$  possui uma variação senoidal ao longo da direção  $z$ , ou quando se diminui o comprimento dos *stubs*  $l$ . Para este último caso, na Figura 8(a) e Figura 8(b) são mostradas, respectivamente, as variações de  $H_y$  obtidas das simulações cujos dados de entrada são mostrados nas colunas 2 e 5 da Tabela 2.

As variações dos campos magnéticos nas regiões entre os *stubs* e a parte interna do ressoador, são grandes, como observadas nas Figura 5, Figura 6 e Figura 8. A componente  $H_y$  praticamente se anula dentro dos *stubs*. Pelas equações de Maxwell, isto significa que a corrente do *patch* na direção  $z$  é praticamente nula, já a componente  $H_z$  possui valores maiores nestas regiões, de modo que a corrente na direção  $y$  é maior. Na Figura 9, são mostradas as variações (função do índice  $i$ ) laterais de  $H_y$  e  $H_z$ .

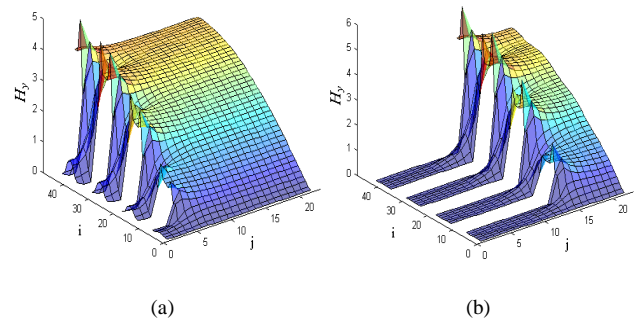


Fig. 8. Variação de  $H_y$  em função de  $l$ . Dados dos ressoadores  $W=3,5\text{cm}$ ,  $L=7,5\text{cm}$ ,  $w_1=w_2=5\text{mm}$ ,  $N_S=8$  e  $\epsilon_{Ref}=3,9$ , e para as malhas  $h=0,833\text{mm}$ ,  $n_W=21$ ,  $n_L=45$ ,  $n_{w_l}=6$ . (a)  $l=0,25\text{cm}$  e  $n_l=3$ . (b)  $l=1,08\text{cm}$  e  $n_l=13$ .

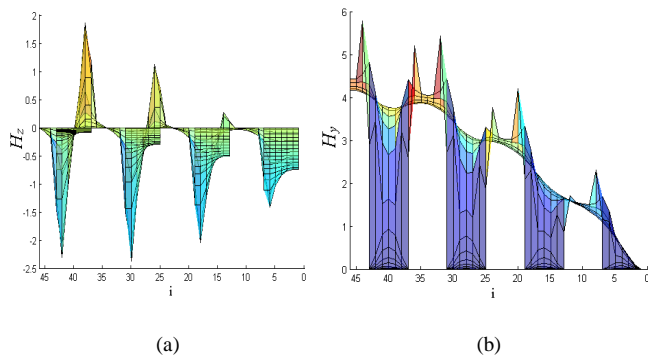


Fig. 9. Variação dos campos magnéticos em função de  $i$ . Dados utilizados:  $W=3,5\text{cm}$ ,  $L=7,5\text{cm}$ ,  $l=1,25\text{cm}$ ,  $w_1=w_2=5\text{mm}$ ,  $N_S=8$ ,  $\epsilon_{Ref}=3,9$ ,  $h=0,833\text{mm}$ ,  $n_W=21$ ,  $n_L=45$ ,  $n_{w1}=6$ ,  $n_l=3$  e  $N=520$ . (a)  $H_z$ . (b)  $H_y$ .

### C. Densidades de corrente sobre o patch

A Figura 10 mostra a distribuição da densidade de corrente elétrica sobre o patch. Os dados utilizados nesta simulação foram:  $W=3,5\text{cm}$ ,  $L=7,5\text{cm}$ ,  $l=1,25\text{cm}$ ,  $w_1=w_2=5\text{mm}$ ,  $N_S=8$ ,  $\epsilon_{Ref}=3,9$ ,  $h=0,833\text{mm}$ ,  $n_W=21$ ,  $n_L=45$ ,  $n_{w1}=6$ ,  $n_l=3$  e  $N=520$ .

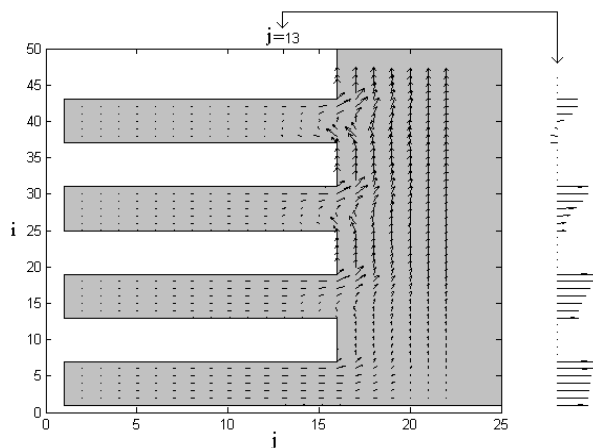


Fig. 10. Distribuição da densidade de corrente sobre o patch. Dados utilizados:  $W=3,5\text{cm}$ ,  $L=7,5\text{cm}$ ,  $l=1,25\text{cm}$ ,  $w_1=w_2=5\text{mm}$ ,  $N_S=8$ ,  $\epsilon_{Ref}=3,9$ ,  $h=0,833\text{mm}$ ,  $n_W=21$ ,  $n_L=45$ ,  $n_{w1}=6$ ,  $n_l=3$  e  $N=520$ .

Nesta figura, se observa que os fluxos de corrente entram e saem dos stubs, este comportamento faz com que o caminho total que a corrente percorre, seja maior do que aquele observado para o caso do ressonador convencional retangular, no qual possui apenas a componente da corrente na direção  $z$  para o modo fundamental. O resultado deste efeito é um aumento no comprimento de onda deste modo, o que é equivalente a uma redução na frequência ressonante. É justamente devido a este fenômeno, que esta estrutura proporciona uma redução nas dimensões do patch.

Nesta Figura 10, é também mostrado o fluxo de corrente ampliado da coluna onde  $j=13$ . Desta coluna de corrente, se observa que nas extremidades do patch, a corrente nos stubs possui apenas um sentido, e na medida em que se afasta das extremidades, começam a existir fluxos nos dois sentidos, sendo que no centro, a quantidade de corrente que entra é a mesma que sai, isto significa que o valor total da corrente na

direção dos stubs é nulo, e quase zero para aqueles que estão próximos do centro do patch ( $z=L/2$ ). Desta análise, podemos concluir que o efeito capacitivo daqueles stubs que estão próximos do centro, é pouco quando comparados com os que estão nas extremidades. Assim, é possível utilizar ressoadores com comprimento de stubs variáveis, os quais possuirão praticamente a mesma frequência ressonante daqueles que utilizam stubs com comprimentos iguais.

## IV. CONCLUSÕES

O método numérico FDFD foi utilizado para analisar ressoadores compactos com stubs laterais. Os resultados apresentados na Tabela 1, mostram que a aproximação bidimensional do ressonador da Figura 1, pode ser utilizada para calcular a frequência ressonante fundamental com boa precisão. Além disso, foram calculados os campos dentro do ressonador, e a respectiva distribuição de corrente sobre patch. Observou-se também, que a frequência ressonante não varia muito com o número de pares de stubs laterais de 2 até 28, e que a variação de  $f_r$  em função de  $l$  é mais significativa.

## REFERÊNCIAS

- [1] J. P. Gianvittorio, Yahya R.-S., "Fractal antennas: a novel antenna miniaturization technique, and applications", IEEE Trans. Antennas and Propagation Magazine, v. 5, N1, pp. 20-35, February 2002.
- [2] J.-S. Kuo, K.-L. Wong, "A compact microstrip antenna with meandering slots in the ground plane", Microwave and Optical Technology Letters, v. 29, N2, pp. 95-97, April 2001.
- [3] J.-H. Lu, C.-L. Tang, K.-L. Wong, "Slot-coupled compact broadband circular microstrip antenna with chip-resistor and chip-capacitor loadings", Microwave and Optical Technology Letters, v. 18, N5, pp. 345-347, August 1998.
- [4] V. Dmitriev, Karlo Q. da Costa, "Antena de microfita retangular com estubes periódicos para redução das dimensões" - X Simpósio Brasileiro de Microondas e Optoeletrônica - SBMO 2002, Recife-PE, 12 a 16 Agosto de 2002, pp. 277-281.
- [5] Karlo Q. da Costa, *Antenas de Microfita Retangular que Utilizam Estubes Periódicos para Redução das Dimensões*, Tese de Mestrado, Universidade Federal do Pará - UFPA, 2002.
- [6] V. Dmitriev, J. C. W. A. Costa, "Theoretical investigation of compact microstrip resonators with stubs for patch antennas", IEEE Trans. on MTT, v. 50, N1, pp. 79-81, January 2002.
- [7] V. Dmitriev, "Comments on "Periodically Slotted Microstrip Ring" ", Microwave and Optical Technology Letters, v. 31, N3, pp. 241-243, November 2001.
- [8] S. Reed, L. Desclos, C. Terret and S. Toutain, "Patch Antenna Size Reduction by Means of Inductive Slots", Microwave and Optical Technology Letters, v. 29, N2, pp. 79-81, April 2001.
- [9] Arokiaswami Alphones and Wong Kai Yee, "Periodically Slotted Microstrip Ring", Microwave Opt. Techn. Lett, v. 27, N3, pp. 192-195, November 2000.
- [10] Karlo Q. da Costa, V. Dmitriev and Giorgio M. O. Pereira, "A New Theoretical Model for Compact Microstrip Resonators with Stubs", submetido ao IMOC 2003.
- [11] C. A. Balanis, "Antenna Theory", 2nd ed., John Wiley & Sons: New York, 1997, pp. 727-752.
- [12] Robert A. Sainati, "CAD of microstrip antennas wireless applications", Artech House: Boston, London, 1996, pp. 21-41.
- [13] Matthew N. O. Sadiku, "Numerical Techniques in Electromagnetics", 2nd ed., CRC Press: New York, 2001, pp. 134-137.
- [14] C. A. Balanis, "Advanced Engineering Electromagnetics", John Wiley & Sons: New York, 1989, pp. 13-20.
- [15] Márcia A. G. Rugiero e Vera L. da Rocha Lopes, "Cálculo Numérico: Aspectos Teóricos e Computacionais", 2nd ed., MAKRON books do Brasil Editora Ltda: São Paulo, 1996, pp. 357-361.